

残留ガスとの散乱によるビームロス

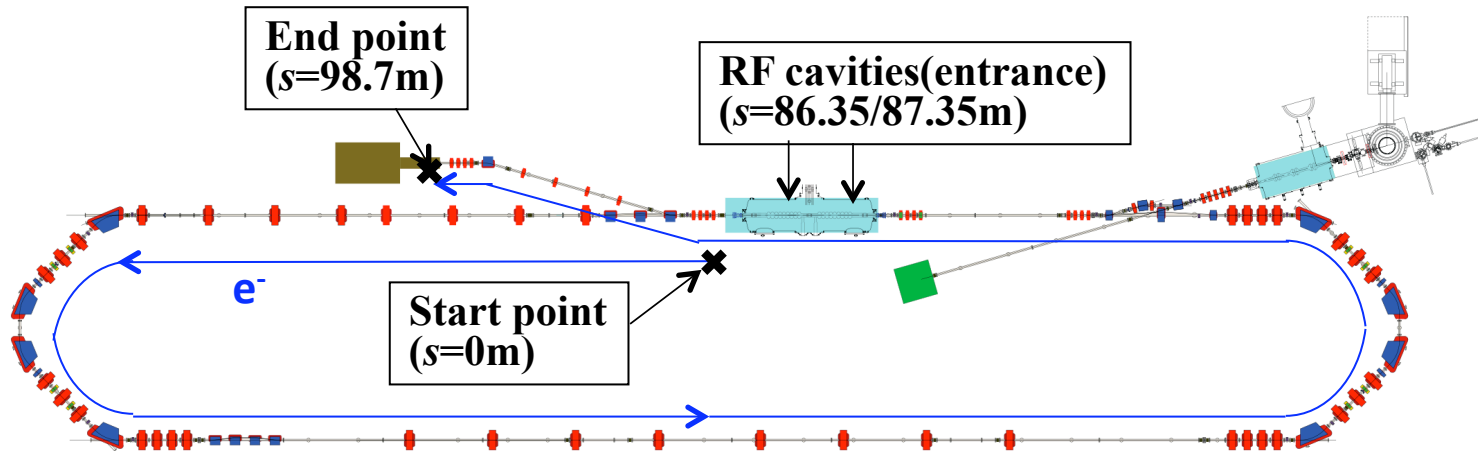
2011年8月9日(火)14時
ビームダイナミクスWG打合せ
中村 典雄

目的

- 残留ガスとの散乱によるビームロスを評価する。
- 散乱によるビームロスが放射線遮蔽の観点から問題となるかどうかの資料とする。
- ビームパイプの口径が適切かどうかを調べる。

方法

- 残留ガスとの散乱(ラザフォード散乱、メラー散乱、制動放射)による各点でのビームロス計算する。ただし、加速空洞直後からダンプまでを今回は対象とする。
- 残留ガスの真空度は、 10^{-6} [Pa]とした。ビームパイプ半径は基本25mm、RF空洞モジュール±20cmでは40mmとした。ダンプラインでの口径を変化させて、その影響を調べた。



散乱後の軌道

- 角度の変化を伴う散乱

$$x(s) = \theta_x \sqrt{\beta_x(s)\beta_x(s_0)} \sin\{\varphi_x(s) - \varphi_x(s_0)\}$$

$$y(s) = \theta_y \sqrt{\beta_y(s)\beta_y(s_0)} \sin\{\varphi_y(s) - \varphi_y(s_0)\}$$

$$\theta^2 = \theta_x^2 + \theta_y^2 \quad (\theta_x = \theta \cos \phi, \theta_y = \theta \sin \phi)$$

- エネルギー（運動量）の変化を伴う散乱

$$x(s) = \eta(s) \frac{\Delta p}{p} + \sqrt{\beta_x(s)H_x(s_0)} \cdot \left| \frac{\Delta p}{p} \right| \cdot \sin\{\varphi_x(s) - \varphi_x(s_0) + \varphi_{x0}\}$$

$$H_x(s) = \frac{\eta_x^2(s_0) + (\alpha_x(s_0)\eta_x(s_0) + \beta_x(s_0)\eta'_x(s_0))^2}{\beta_x(s_0)}$$

$$\sin \varphi_{x0} = \frac{\eta(s_0)}{\sqrt{\beta_x(s_0)H_x(s_0)}}$$

空洞の効果

- 空洞前後での軌道と運動量変化(Rosenzweig & Serafini)

$$\begin{pmatrix} x \\ x' \end{pmatrix} = M \begin{pmatrix} x_0 \\ x'_0 \end{pmatrix}$$

$$M = \begin{pmatrix} \cos\alpha - \sqrt{2} \sin\alpha & 2\sqrt{2} \frac{\gamma_i}{\gamma'} \sin\alpha \\ -\frac{3\gamma'}{2\sqrt{2}\gamma_f} & \frac{\gamma_i}{\gamma_f} (\cos\alpha + \sqrt{2} \sin\alpha) \end{pmatrix}, \quad \det M = \frac{\gamma_i}{\gamma_f}$$

$$\alpha = \frac{1}{2\sqrt{2}} \ln\left(\frac{\gamma_f}{\gamma_i}\right), \quad \gamma' = \frac{eE}{\gamma mc^2}$$

$$\frac{\Delta p}{p} = \frac{\gamma_i}{\gamma_f} \left(\frac{\Delta p}{p} \right)_0$$

→ 減速空洞では振幅と運動量広がりが大きくなる。

ビームロスの条件

- 角度の変化を伴う散乱

$$\frac{x^2(s)}{a_x^2(s)} + \frac{y^2(s)}{a_y^2(s)} \geq 1 \quad a_{x,y}: \text{水平・垂直の真空ダクト半径 (楕円形仮定)}$$

$$x^2(s) = A_x^2(s)\theta_x^2 \approx \frac{A_x^2(s)\theta^2}{2}, \quad y^2(s) = A_y^2(s)\theta_y^2 \approx \frac{A_y^2(s)\theta^2}{2} \quad (\text{averaging over } \phi)$$

$$\Rightarrow \frac{1}{\theta_c^2(s)} = \frac{A_x^2(s)}{2a_x^2(s)} + \frac{A_y^2(s)}{2a_y^2(s)} \quad \theta_c: \text{ビームロスの臨界散乱角}$$

- エネルギー(運動量)の変化を伴う散乱

$$x(s) = B_x(s) \frac{\Delta p}{p} \geq a_x(s)$$

$$\Rightarrow \left(\frac{\Delta p}{p} \right)_c = \frac{a_x(s)}{B_x(s)} \quad (\Delta p/p)_c: \text{ビームロスの臨界運動量変化}$$

ビームロスの断面積

- ラザフォード散乱

$$\sigma_R = \frac{4\pi Z^2 r_e^2}{\gamma^2 \theta_c^2}$$

Z : 原子の原子番号
 r_e : 電子の古典半径
 α_f : 微細構造定数

- メラー散乱

$$\sigma_M = \text{Max} \left\{ \frac{4\pi r_e^2}{\gamma^2 \theta_c^2}, \frac{2\pi r_e^2}{\gamma} \left(\frac{\Delta p}{p} \right)_c^{-2} \right\}$$

- 制動放射

$$\sigma_B = 4\pi\alpha_f r_e^2 Z(Z+1) \left\{ -\frac{4}{3} \ln \left(\frac{\Delta p}{p} \right)_c - \frac{5}{6} \right\} \cdot \ln \left(183Z^{-\frac{1}{3}} \right)$$

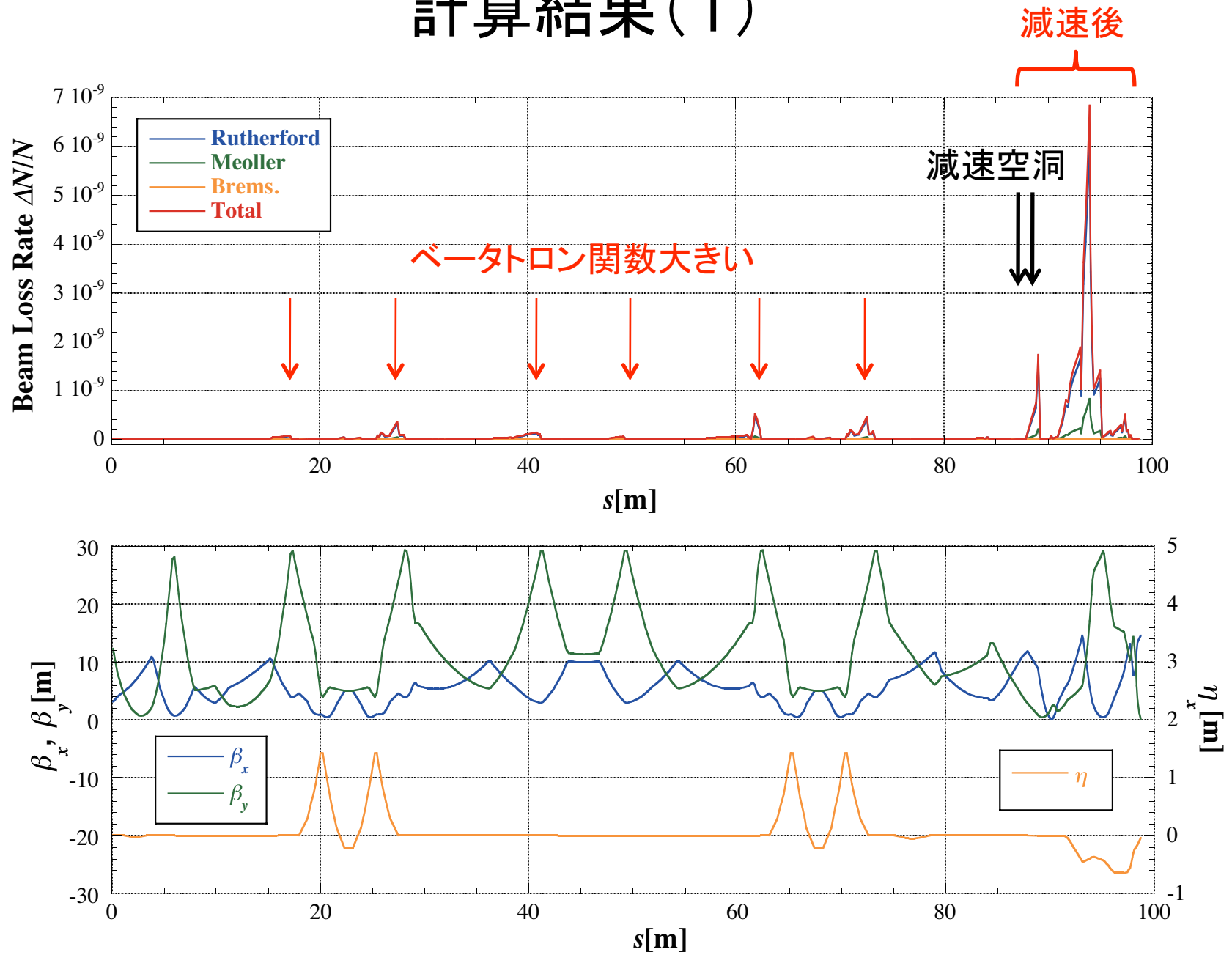
計算の手順

1. cERL各点で散乱に対して下流各点で $\theta_c, (\Delta p/p)_c$ を求める。
2. 各点での各散乱に対してその下流の全ての点でのビームロスの断面積をそれぞれ求める(実際のビームロスの断面積はその点でのビームロスの断面積からその上流までのビームロスの断面積を引いたものになる)。
3. 各点でのビームロス断面積を上流の全ての点での散乱に対して合計する。
4. ビームロス断面積とビームロスとの関係は次のようになる。CO換算で真空度 10^{-6} Paを仮定した。

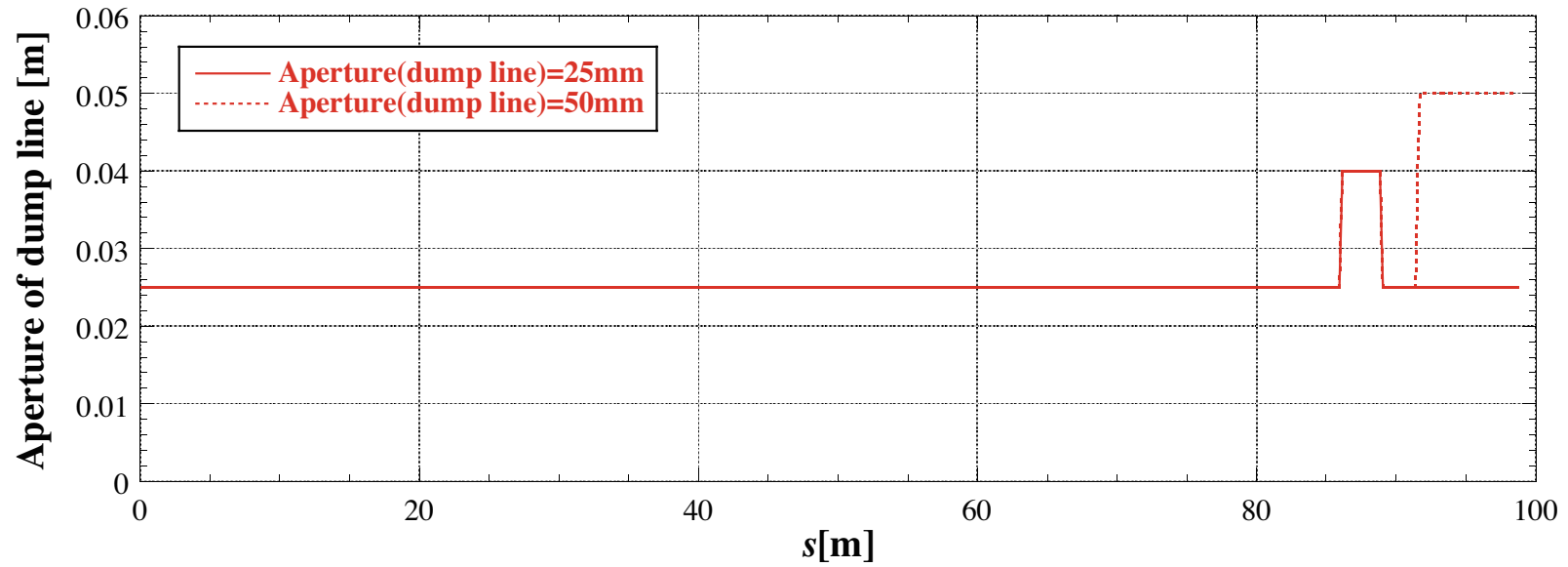
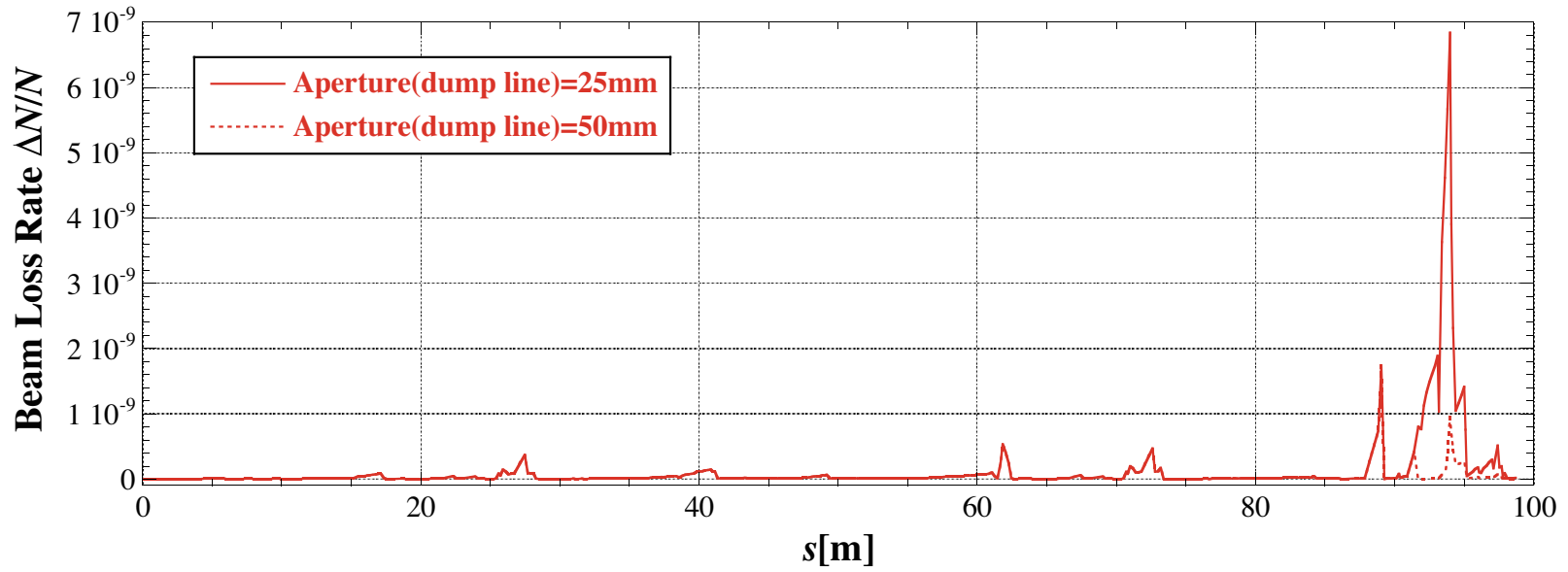
$$\left(\frac{\Delta N}{N}\right)_{loss} = \int \sum_i n_G(Z_i) \{ \sigma_R(Z_i, s) + \sigma_M(Z_i, s) + \sigma_B(Z_i, s) \} ds$$

n_G : 真空度 10^{-6} Paに対する各原子の密度

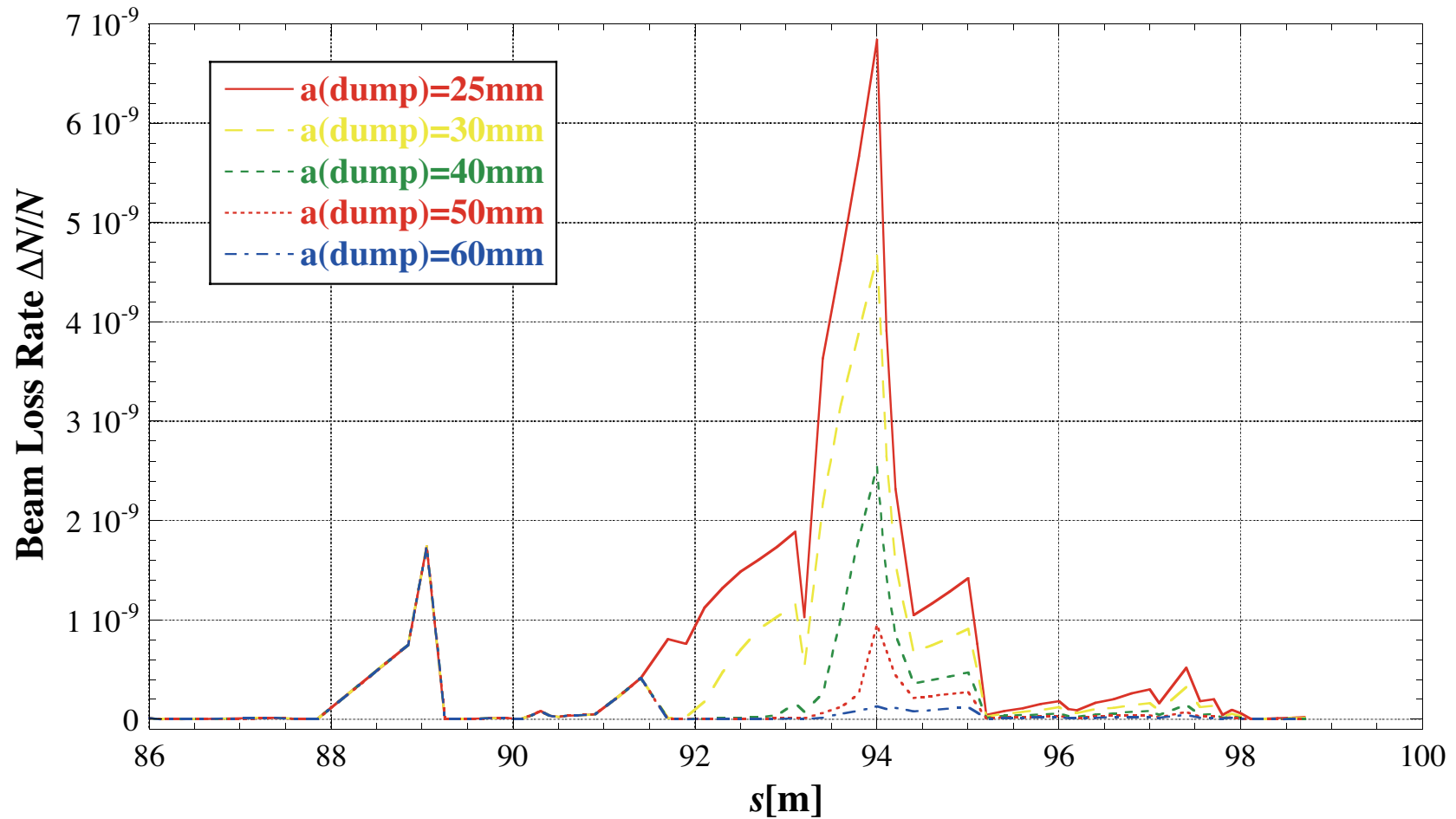
計算結果(1)



計算結果(2)



計算結果(3)



➔ ダンプラインのパイプ口径を広げるとビームロス減少に有効である。

まとめ

- ビームと残留ガスとの散乱による電子ビームロスを計算した。
- このビームロスの主な原因はラザフォード散乱で、エネルギーの2乗に反比例して散乱断面積は大きくなる。
- ビームロスはベータatron関数が高い場所と減速後からダンプラインにかけて大きい。ダンプラインあるいは減速後のビームパイプを大きくすることはビームロスの抑制に有効である。
- 計算したビームロスが放射線の観点から問題がないか放射線科学センターの松村さんに問い合わせている。